

4.6 循环移位

循环移位是更广泛的全局通信操作中的一种，被称为 **置换 (Permutation)**。置换是一种同步、一对一的数据再分配操作，其中每个节点向唯一的节点发送一个包含 m 个字的数据包。我们将**循环 q 移位 (Circular q -Shift)** 定义为在 p 个节点集合 ($0 < q < p$) 中，节点 i 向节点 $(i + q) \bmod p$ 发送数据包的操作。移位操作适用于某些矩阵计算以及字符串和图像模式匹配。

4.6.1 二维网格

在环形或双向线性阵列上实现循环 q 移位相当直观。它可以通过单向 $\min\{q, p - q\}$ 邻近通信来实现。利用环形算法可以推导出圆周位移的网格算法。

如果网格的节点都有行主标，那么在一个 p 个节点的正方形环绕网格上，可以分两个阶段进行圆周 q 移位。[图 4.22](#) 展示了在 4×4 网格上进行圆周 5 移位的过程。首先，整组数据同时沿行移动 $(q \bmod \sqrt{p})$ 步。然后沿列移动 $\lfloor q/\sqrt{p} \rfloor$ 步。在循环行移位过程中，部分数据会从行的最高标注节点到最低标注节点绕行连接。所有这些数据包都必须沿列向前多移动一步，以补偿它们在各自行中穿越后向边缘时损失的 \sqrt{p} 距离。例如，[图 4.22](#) 中的 5 次移位需要一次行移位、一次补偿性列移位和最后一次列移位。

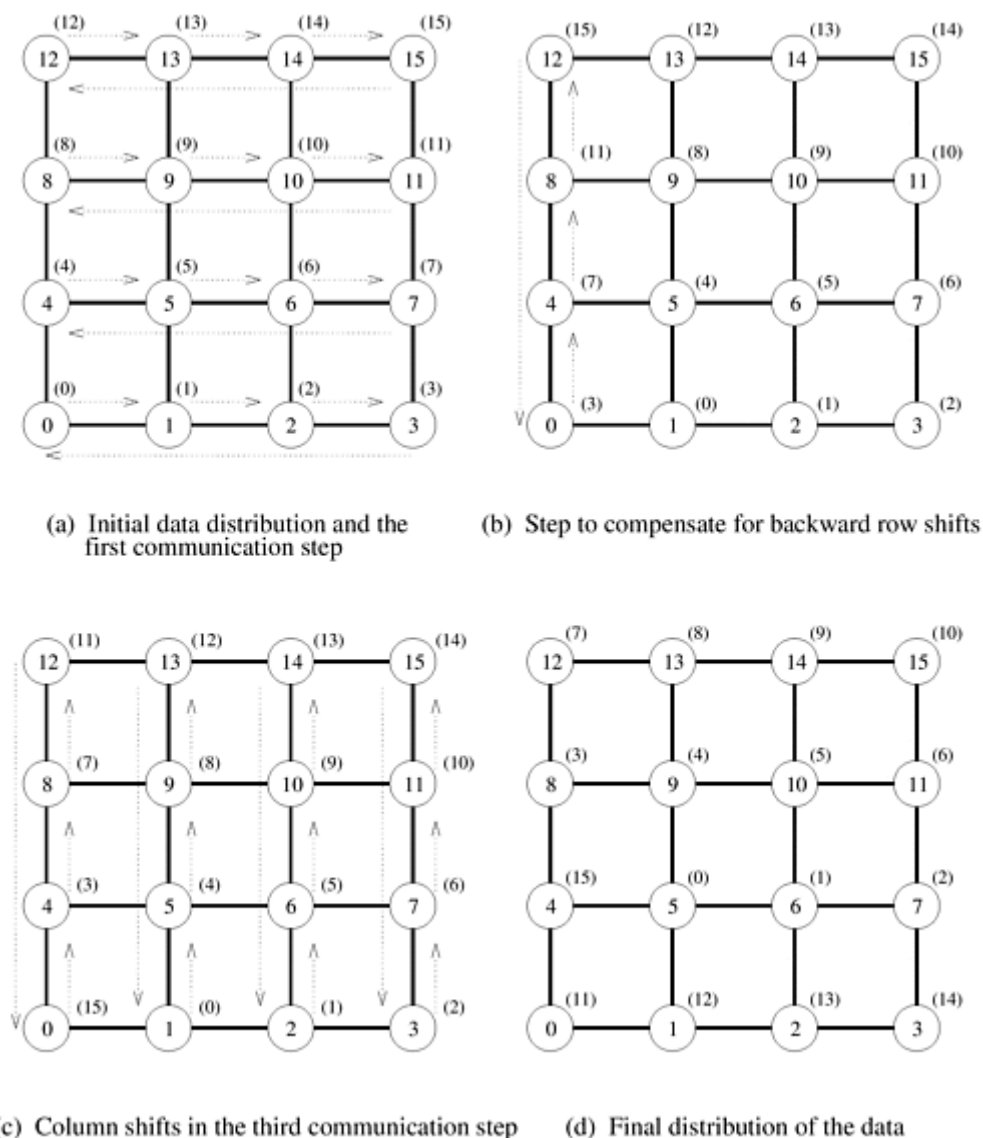


图4.22 4x4网格上循环5档的通信步骤

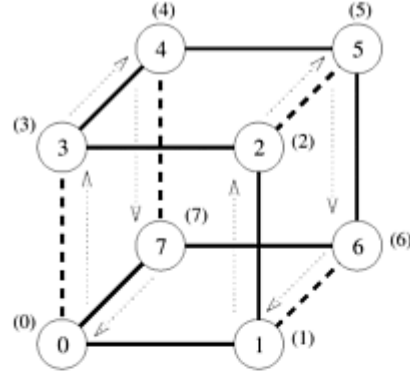
在实际操作中，我们可以选择行和列的移动方向，以尽量减少圆周移动的步数。例如， 4×4 网格上的 3 次移动可以通过一次向后的行移动来完成。使用这种策略，一个方向上的单位移动次数不能超过 $\lfloor \sqrt{p}/2 \rfloor$ 。

成本分析 考虑到某些数据包的补偿列移动，使用大小为 m 的数据包在 p 节点网络上进行任何循环 q 移位的总时间上限为

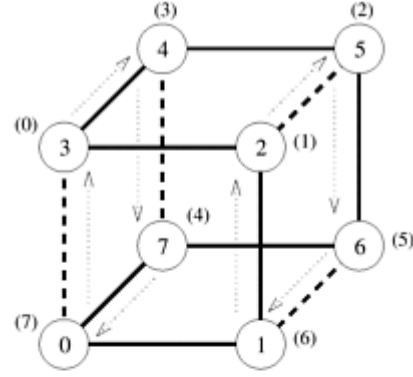
$$T = (t_s + mt_w)(\sqrt{p} + 1) \quad (1)$$

4.6.2 超立方

在开发移位运算的超立方体算法时，我们将一个有 2^d 个节点的线性数组映射到一个 d 维的超立方体上。具体方法是将线性数组的节点 i 分配给超立方体的节点 j ，这样 j 就是 i 的 d 位二进制反射格雷码 (RGC)。这种映射的一个特性是，线性阵列上距离为 2^i 的任意两个节点，在超立方体上正好相隔两个链路。 $i = 0$ (即线性阵列上直接连接的节点) 是一个例外，此时两个节点之间只有一个超立方体链路相隔。

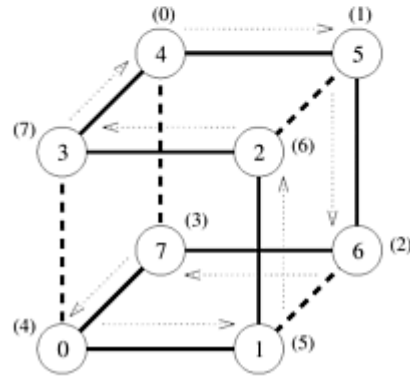


First communication step of the 4-shift



Second communication step of the 4-shift

(a) The first phase (a 4-shift)



(b) The second phase (a 1-shift)

(c) Final data distribution after the 5-shift

图 4.23 将一个八节点线性阵列映射到一个三维超立方体上，以 4 移位和 1 移位相结合的方式循环 5 移位

例如，数字 5 可以表示为 $2^2 + 2^0$ 。这两个项对应于 5 的二进制表示中的 0 和 2 位，即 101。如果 q 是 s 个不同的 2 的幂的和，那么超立方体上的循环 q 移位要分 s 个阶段进行。

在通信的每个阶段，所有数据包通过短切线性阵列（映射到超立方体上），以 2 的幂级数接近各自的目的。例如，如图 4.23 所示，5 移位由 4 移位和 1 移位组成， q 移位中的通信阶段数正好等于 q 的二进制表示中的 1 的个数。除 1 移位外，每个阶段都包含两个通信步骤，1 移位只包含一个步骤（即 q 的最小有效位为 1）。例如，在 5 次移位中，4 次移位的第一阶段（图 4.23(a)）由两个步骤组成，1 次移位的第二阶段（图 4.23(b)）由一个步骤组成。因此， p 节点超立方体中任意 q 的总步数最多为 $2 \log p - 1$ 。

在给定的时间步长内，所有通信都不会拥塞。这得益于线性阵列映射的特性，即线性阵列上相互距离为 2 的幂次的所有节点都被安排在超立方体上互不相连的子阵列中。因此，所有节点都可以在各自的子阵列中以循环方式自由通信。如图 4.23(a) 所示，标有 0、3、4 和 7 的节点组成一个子阵列，标有 1、2、5 和 6 的节点组成另一个子阵列。

在 p 节点超立方体上对 m 字数据包进行任意移位时，总通信时间的上限为

$$T = (t_s + mt_w)(2 \log p - 1) \quad (2)$$

我们可以通过同时进行前移和后移，将这一上限降低为 $(t_s + mt_w) \log p$ 。例如，在 8 个节点上，可以通过一次后向 2 移位来完成 6 移位，而不是先进行前向 4 移位，然后再进行前向 2 移位。

我们现在要说明的是，如果使用第 4.5 节中介绍的 E 立方体路由，那么对于大信息量，超立方体上的循环移动时间几乎可以提高 $\log p$ 倍。这是因为采用 E 立方体路由时，在具有双向信道的 p 节点超立方体中，每对具有恒定距离 l 的节点 ($i \leq l < p$) 都有一条无阻塞路径。图 4.24 展示了八节点超立方体上 $1 \leq q < 8$ 的循环 q 移位操作中所有报文的无冲突路径。在 p 节点超立方体上进行循环 q 移位时，最长路径包含 $\log p - \gamma(q)$ 链路，其中 $\gamma(q)$ 是 q 能被 2^j 整除的最大整数 j 。因此，长度为 m 的信息的总通信时间为

$$T = t_s + mt_w \quad (3)$$

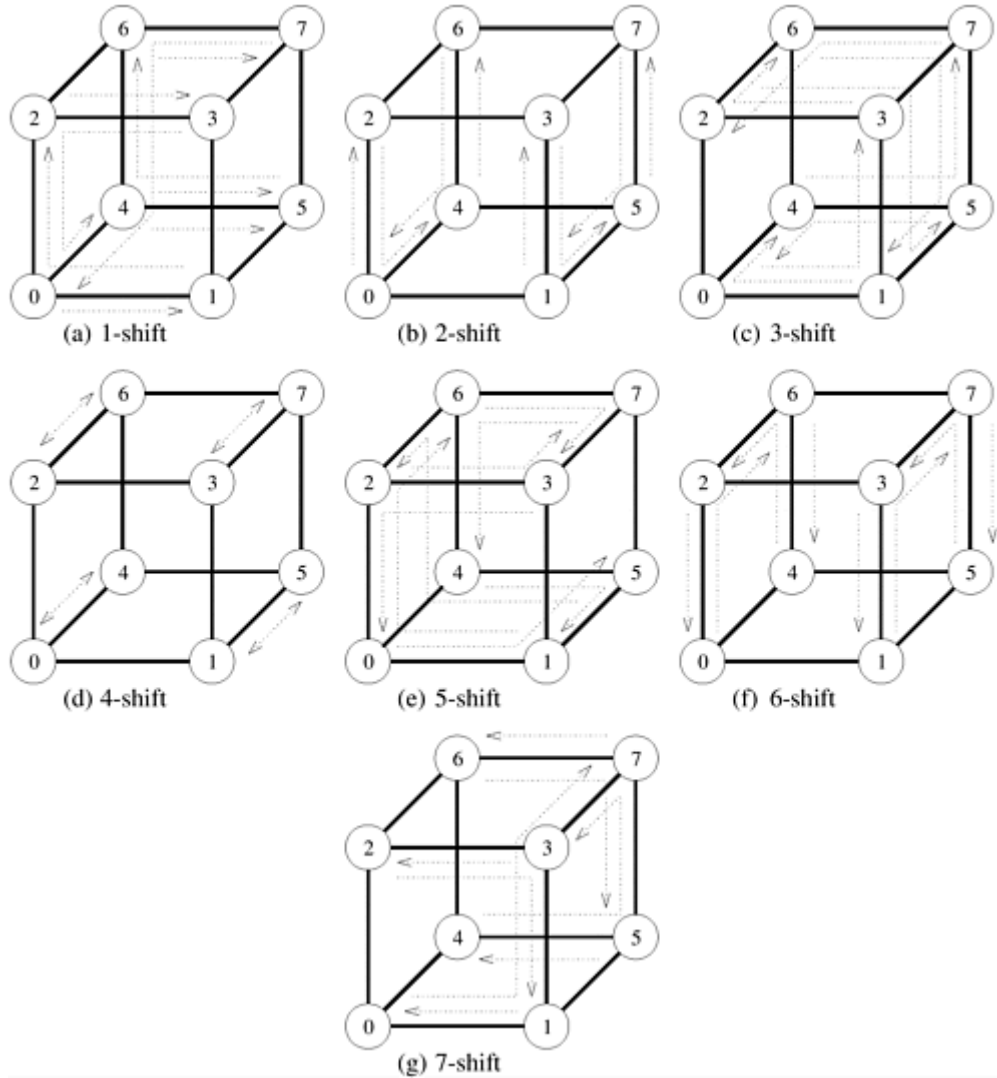


图4.24 8节点超立方体上的循环 q 移位